

# بررسی عددی تأثیر میلگردهای فشاری GFRP بر عملکرد تیرهای بتنی مسلح تحت بارگذاری خمشی چهار نقطه‌ای

پگاه آقابزرگی<sup>۱</sup>، علیرضا خالو<sup>۲</sup>

۱- دانشجوی کارشناسی ارشد مهندسی عمران، دانشگاه صنعتی شریف(p.aghabozorgi@gmail.com)  
۲- استاد دانشکده مهندسی عمران، دانشگاه صنعتی شریف(khaloo@sharif.edu)

p.aghabozorgi@gmail.com

چکیده

آرماتورهای FRP با مقاومت قابل توجه در برابر خوردگی منجر به بمبود در عملکرد سازه‌های بتنی مسلح و کاهش قابل توجه هزینه‌ها می‌شوند. از دیگر ویژگی‌های آنها نسبت بالای مقاومت کششی به وزن، نارسانا و غیرمغناطیس بودن آن می‌باشد. آینه‌نامه‌های طراحی بین الملل اخیر از قبیل ACI ۴۴۰،۱۵-R، پیش‌بینی اثر میلگردهای فشاری GFRP روی مقاومت خمشی و شکل‌پذیری تیرهای بتنی مسلح می‌کنند. در این پژوهش، به منظور پیش‌بینی اثر میلگردهای فشاری GFRP استفاده از آرماتورهای ABAQUS مدلسازی شدند. رفتار مصالح الاستوپلاستیک به کمک مدل پلاستیسیته خرایی بتن در نرم افزار تعريف شد. داده‌های تجربی از پژوهش‌های موجود، عنوان معیار برای بررسی‌های عددی در این پژوهش مورد استفاده قرار گرفتند و نتایج با استفاده از مدلسازی عددی صحت سنجی شدند. نتایج نشان دادند که منحنی‌های تغییرمکان-نیرو به دست آمده از تحلیل عددی مطابقت خوبی با منحنی‌های حاصل از آزمایشگاه دارند. طبق ارزیابی عددی، تیرهای بتنی مسلح GFRP، مقاومت خمشی بالاتری دارند؛ میانگین مقاومت خمشی تیرهای بتنی مسلح فولادی، ۹۰ درصد تیرهای بتنی مسلح GFRP محاسبه شد. هم‌چنین تیرهای بتنی مسلح GFRP شکل‌پذیری بیشتری از خود نشان دادند. افزایش درصد میلگردهای فشاری GFRP منجر به جذب انرژی بیشتر و در نهایت شکل‌پذیری بیشتر تیرهای بتنی GFRP شده است. نتایج نشان دادند که میلگردهای فشاری GFRP تأثیر قابل توجهی در افزایش مقاومت خمشی تیرها ندارند.

کلمات کلیدی: ABAQUS، تیرها، مقاومت خمشی، مدل پلاستیسیته آسیب بتن

## -۱ مقدمه

در طول دو دهه گذشته، میلگردهای FRP بدلیل غلبه بر خوردگی و دیگر مشکلات متداول میلگردهای فولادی به عنوان جایگزینی مناسبی برای این میلگردها بسیار مورد توجه قرار گرفته‌اند. GFRP، CFRP، AFRP و متداول ترین گونه‌های FRP هستند که در این پژوهش با توجه به اینکه میلگردهای از شکل پذیری و ظرفیت باربری بالایی برخوردار می‌باشند، به عنوان جایگزین خوبی برای میلگردهای فولادی انتخاب شده‌اند. آب‌های سور و محیط‌های خورنده، علت اصلی خوردگی میلگرد گذاری فولادی و تخریب سازه‌های بتی مسلح به فولاد می‌باشد که منجر به ترمیم و بازسازی پرهزینه و همچنین کاهش قابل توجهی در طول عمر سازه می‌شود؛ بنابراین مقاوم کردن سازه‌هایی که در معرض این محیط‌ها قرار دارند باعث دوام و طول عمر بیشتر سازه خواهد شد. از دیگر کاربردهای میلگرد گذاری FRP شامل بیمارستان‌ها و آزمایشگاه‌ها که خواص نارسانایی و غیرمغناطیسی بودن این میلگردها، برای استفاده در مجاورت تجهیزات حساس، مناسب واقع می‌گردد. میلگردهای GFRP مدول الاستیک پایینی دارند و تمایل به گسیختگی بدون تسلیم شدن را دارند؛ بنابراین انتظار می‌رود پیشینه توزیع میلگردهای FRP در کرنش نهایی بتن (۰/۰۳۶) در مقایسه با فولاد کوچک باشد؛ پس این میلگردها به مزایه‌های متفاوتی در آینه‌های طراحی نیاز دارند. با وجود مطالعات فراوان در خصوص استفاده موثر از میلگرد گذاری FRP در فشار، آینه‌نامه‌های [1]ACI ۴۴۰، [2]CAN/CSA ۱۵-۱، [3]TR00 ۱۰۴۰-۶ و [4]ISO ۱۰۴۰-۶ استفاده از میلگرد گذاری FRP در محاسبات ظرفیت فشاری اعضاء را توصیه نمی‌کند. بدین سبب علاوه بر بررسی‌های آزمایشگاهی، نیازمند شبیه‌سازی‌های عددی به منظور صحت سنجی نتایج آزمایشگاهی و ارزیابی دقیق تر، جهت پذیرفتن FRP بوسیله‌ی طراحان در دستورالعمل‌های جدید طراحی می‌باشیم.

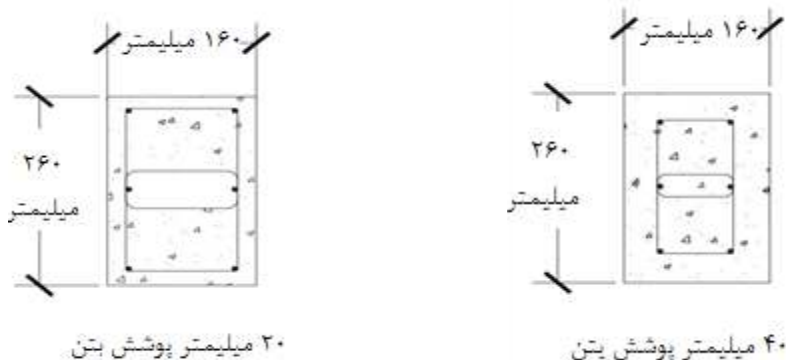
تیرها با اعمال بار سازه به ستون‌ها نقش قابل توجهی را در میان المان‌های سازه بر عهده دارند، بنابراین بررسی اثر میلگرد گذاری فشاری در ظرفیت باربری تیرها حائز اهمیت می‌باشد. در مطالعه اخیر با بررسی نمودارهای ممان-انحنای در ناحیه مفصل پلاستیک تیرهای موجود در قاب؛ به این نتیجه رسیدند که مقاطع مسلح به میلگردهای GFRP به طور خطی رفتار می‌کنند و ظرفیت خمشی بالاتری از مقاطع مسلح به میلگردهای فولادی فراهم می‌کنند. در این مطالعه، نسبت ظرفیت خمشی تیرهای مسلح GFRP به فولادی به طور میانگین ۱/۳۳ برابر اندازه گیری شده است [6]. اتفاقاً و همکارانش [7]، [8] در سال ۲۰۱۴ فهمیدند مقاومت فشاری نهایی میلگردهای GFRP تقریباً ۳۵ درصد مقاومت کششی نهایی می‌باشد؛ که این مقدار بیشتر از ۵۰ درصد مقدار اندازه گیری شده توسط دیتز می‌باشد. امیری و همکارانش [9] با استفاده از نرم افزار ABAQUS به پیش‌بینی پاسخ خمشی، خواص مکانیکی و الگوهای ترک یک تیر بتی ژئوپلیمر پرداختند و تفاوت‌هایی در نتایج اجزاء محدود و آزمایشگاهی مشاهده کردند. نوین و همکارانش [10] تیر بتی مسلح فولادی تحت آزمایش خمس چهار نقطه‌ای شبه‌سازی کردند و در مدلسازی عددی شبیه‌سازی را در ناحیه الاستیک خطي مشاهده کردند. سان و همکارانش در سال ۲۰۱۷ با ارایه یک روش خلاقانه به بررسی کاربرد آرماتور فولادی به همراه غلافی از FRP پرداختند. آن‌ها با استفاده از مدل‌های عددی و کارهای آزمایشی نشان دادند که با استفاده از این روش شکل پذیری سازه بتن آرمه به طور قابل توجهی افزایش پیدا می‌کند [11].

تحقیقات بالا به خوبی نشان می‌دهد که مطالعات بیشتری جهت بررسی رفتار میلگردهای GFRP در فشار لازم است. این پژوهش خلاصه‌ای از نتایج آزمایشگاهی و مقایسه آنها با نتایج اجزاء محدود نمونه‌های مسلح به GFRP و فولاد و همچنین بررسی اثر میلگردهای فشاری در تیرها را فراهم می‌کند.

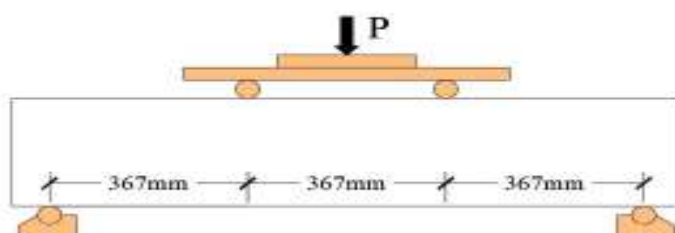
## -۲ مدل‌سازی با روش اجزاء محدود

به منظور بررسی رفتار مدل‌های ساخته شده توسط نرم افزار ABAQUS، ابتدا با مقایسه نتایج اندازه گیری شده در یک آزمایش معتبر با نمودارهای به دست آمده از نرم افزار، صحت و دقت روش مدل‌سازی تعیین شده است و می‌توان به نتایج پیش‌بینی شده توسط نرم افزار اطمینان حاصل کرد و سپس به تحلیل نمودارها پرداخت. در این پژوهش نمونه آزمایشگاهی ساخته شده توسط الچلکانی و همکاران [12] به عنوان نمونه مرجع جهت استفاده در صحت سنجی نتایج مدل‌سازی اجزای محدود مورد استفاده قرار گرفته شده است. در این پژوهش ۱۳ نمونه تیر بتی به ابعاد مقطع عرضی  $120 \times 160$  میلی‌متر، تحت بار گذاری خمس چهار نقطه‌ای و طول دهانه ۱۱۰۱ میلی‌متر شبه‌سازی شده‌اند. مقطع تیرهای مسلح فولادی و GFRP در شکل ۱ نشان داده شده است و در شکل ۲ شماتیک و نحوه بار گذاری تیر بتی ترسیم شده است. ۱۲ نمونه با میلگردها و خاموتهای GFRP و یک نمونه دیگر با میلگردها و خاموتهای فولادی مسلح شده‌اند. هر نمونه بتی مسلح GFRP با شش میلگرد طولی به قطر #۴ به نسبت حجمی ۱/۸۳ درصد و هر نمونه بتی مسلح فولادی با شش میلگرد طولی N12 به نسبت حجمی ۱/۵۹

درصد مسلح شده‌اند. میلگرد گذاری عرضی برای نمونه‌های بتنی مسلح فولادی  $R^{\#2}$  به قطر ۲۰ میلی‌متر و برای نمونه‌های بتنی مسلح فولادی  $R^{\#4}$  به قطر ۴۰ میلی‌متر انتخاب شده و هم‌چنین فاصله میلگرد گذاری عرضی در تمام نمونه‌ها ۱۵۰ میلی‌متر می‌باشد. پوشش بتن برای نمونه‌های بتنی مسلح فولادی ۴۰ میلی‌متر و برای GFRP، ۲۰ میلی‌متر مطابق شکل ۱ اتخاذ شده است.



شکل ۱: نمایی از مقطع تیر و نحوه آرایش میلگردها



شکل ۲: شماتیک تیر بتنی مسلح

مشخصات مصالح میلگرد و خاموت مصرفی در جدول ۱ و ۲ ارایه شده است. هم‌چنین از بتنی با مقاومت ۳۲,۷۵ مگاپاسکال در محاسبات استفاده شده است.

جدول ۱: خواص فیزیکی میلگردهای GFRP [12]

قطر میلگرد (میلی‌متر)	مساحت (میلی‌متر مربع)	مدول الاستیک کششی (گیگاپاسکال)	مقاومت کششی (مگاپاسکال)	کوئش نهایی در کشش (بر حسب درصد)
۶,۳۵	۳۱,۷	۴۶,۱	۷۸۴	۱,۹
۱۲,۷	۱۲۶,۷	۴۶,۳	۷۰۸	۱,۷

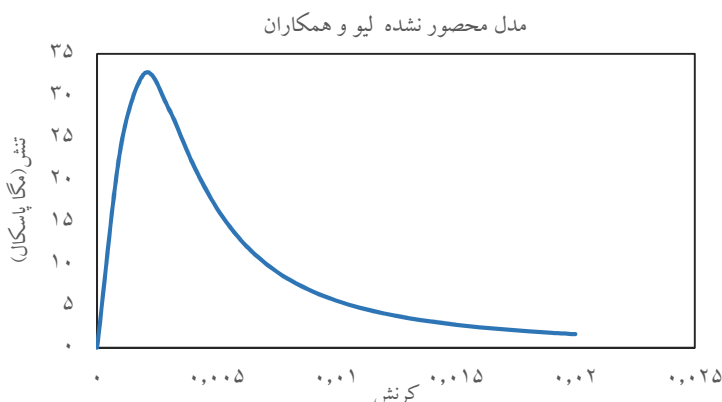
جدول ۲: خواص فیزیکی میلگردهای فولادی [12]

قطر میلگرد (میلی‌متر)	مساحت (میلی‌متر مربع)	مدول الاستیک (گیگاپاسکال)	مقاطومت تسليم (مگاپاسکال)	مقاطومت نهایی (مگاپاسکال)	کرنش تسليم (درصد)	کشیدگی (درصد)
۶	۲۸	۲۰۰	۲۵۰	۲۷۰	۰,۱۲۵٪	۵٪
۱۲	۱۱۰	۲۰۰	۵۰۰	۵۴۰	۰,۲۵٪	۵٪

## ۱-۲ مدل‌های ساختاری مصالح

### ۱-۱-۲ مدل بتن

در نرم افزار ABAQUS جهت معرفی مصالح طیف وسیعی از خصوصیات رفتاری غیرالاستیک وجود دارد که در این پژوهش مدل پلاستیسیته-آسیب بر پایه مدل لیو و همکاران [13]، مناسب‌ترین مدل برای توصیف رفتار بتن نمونه‌های آزمایشگاهی می‌باشد. در این مدل دو مکانیزم گسیختگی ترک خوردگی کششی و خردشده‌گی فشاری برای بتن فرض می‌شود. رفتار بتن تحت کشش نیز تا تشکیل ریز ترک‌های اولیه در تنفس حداکثر(تنفس گسیختگی) به صورت خطی و پس از آن تنفس بر حسب کرنش ترک خوردگی و اعمال ضرایب آسیب کششی به منظور کاهش مدول الاستیسیته در اثر ترک خوردگی تعریف می‌شود. نمودار تنفس-کرنش بتن در شکل ۳ نشان داده شده است. نمودار تنفس-کرنش برای بتن محصور نشده در فشار بر پایه روابط لیو و همکاران [13] ترسیم شده و مقادیر تنفس بر حسب کرنش ترک خوردگی (پلاستیک) به نرم افزار وارد شده است.



شکل ۳: نمودار تنفس-کرنش بتن در فشار

روابط تنفس و کرنش بتن در ناحیه برگشت‌پذیر (الاستیک خطی) به صورت زیر می‌باشد:  
نمودول یانگ بتن با استفاده از معادله (۱) تعیین شده است. این معادله از ضوابط موجود در آیین‌نامه ۳۶۳R-۱۰ ACI [14] پیروی می‌کند.

$$E_c = 3320 \sqrt{f_c} + 6900 \quad (1)$$

$\hat{f}_c$  مقاومت فشاری ۲۸ روزه بتن، ضریب پواسون به مقدار ۰.۲۰ فرض می‌شود.

در ناحیه غیرالاستیک از مدل پلاستیسیته-آسیب استفاده شده است. این مدل پنج مولفه رفتاری شامل: رفتار فشاری، آسیب فشاری، رفتار کششی، آسیب کششی و پلاستیسیته را در بر می‌گیرد.

در این پژوهش، رفتار پلاستیسیته به صورت زیر در نرم افزار تعریف شده است [15]:

$$\psi = 40 \quad (2)$$

$$\frac{f_{bo}}{f_c} = 1.5(\hat{f})^{-0.075} \quad (3)$$

$$K_c = \frac{5.5}{5+2(f_c^{0.075})} \quad (4)$$

$\Psi$  را ویه انساط بتن،  $K_c$  ضریب شکل برای سطح تسلیم،  $f_{bo}$  تنفس تسلیم فشاری دو محوره اولیه

به همین ترتیب روابط تنش-کرنش فشاری تک محوره بتن طبق معادلات (۵)، (۶)، (۷) و (۸) به نرم افزار وارد شد. این معادلات از روابط لیو و همکارانش [13] جهت مدلسازی رفتار تنش-کرنش بتن استفاده کرده‌اند.

$$\sigma_c = \frac{E_c * \varepsilon_c}{1 + \left( (R + R_e - 2) * \left( \frac{\varepsilon_c}{\varepsilon_{c0}} \right) \right) - \left( (2R - 1) * \left( \frac{\varepsilon_c}{\varepsilon_{c0}} \right)^2 \right) + (R * \left( \frac{\varepsilon_c}{\varepsilon_{c0}} \right)^3)} \quad (5)$$

$$R = \left( \frac{R_e}{3} \right) - 0.25 \quad (6)$$

$$R_e = \left( \frac{E_c}{E_0} \right) \quad (7)$$

$$E_0 = \left( \frac{f_c}{\varepsilon_{c0}} \right) \quad (8)$$

$\sigma_c$  تنش فشاری بتن،  $E_c$  کرنش فشاری در بار اوج می‌باشد.  $\varepsilon_{c0}$  طبق رابطه مندر [16] برابر ۰.۰۰۲ فرض شده‌است. رفتار بتن در کشنش همانند فشار در دو ناحیه الاستیک و پلاستیک قرار می‌گیرد. تنش تسلیم کشنشی طبق معادله (۹) [17] در نرم افزار تعریف شده‌است.

$$f_{ct} = 0.4 \sqrt{f_c} \quad (9)$$

هم‌چنین تنش کشنشی از معادله (۱۰) توسط استونر [18] بدست آمده است.

$$f_t = \begin{cases} E_{co} \varepsilon_t & \text{If } \varepsilon_t < \varepsilon_{to} \\ f_{ct} \left( \frac{\varepsilon_{to}}{\varepsilon_t} \right)^{0.4} & \text{If } \varepsilon_{to} < \varepsilon_t \end{cases} \quad (10)$$

تئوری مکانیک آسیب محیط‌های پیوسته، ایجاد ترک‌ها در پریود اولیه بدون بار، گسترش ترک‌ها در طول بارگذاری و بنابراین شروع افت مقاومت مصالح را در بر می‌گیرد. پارامتر آسیب تحت بارگذاری فشاری بتن  $c$ ,  $d$ , پارامتر آسیب تحت بارگذاری کشنشی بتن  $d_t$  به صورت زیر تعریف می‌شود [13]:

$$d_c = \frac{(1 - \eta_c) \varepsilon_c^{in} E_0}{\sigma_c + (1 - \eta_c) \varepsilon_c^{in} E_0} \quad (11)$$

$$\eta_c = \frac{\varepsilon^{pl}}{\varepsilon^{in}} \quad (12)$$

$$\varepsilon^{in} = \varepsilon_c - \frac{\sigma_c}{E_0} \quad (13)$$

$$\varepsilon^{pl} = \varepsilon^{in} - \frac{d_c}{(1 - d_c) E_0} \frac{\sigma_c}{E_0} \quad (14)$$

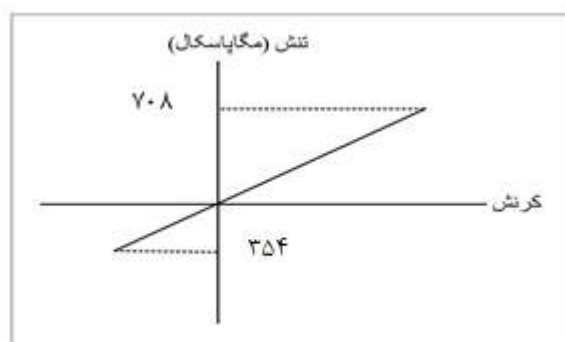
$$d_t = \frac{\eta_t \varepsilon_c^{in} E_0}{\sigma_c + \eta_t \varepsilon_c^{in} E_0} \quad (15)$$

در محاسبات  $\eta_t$ ,  $\eta_c$ ,  $\varepsilon^{in}$  و  $\sigma_c$ ، فرض شده‌است.

## ۲-۱-۲ مدل میلگرد GFRP

رابطه تنش-کرنش میلگردهای GFRP به صورت الاستیک خطی ایزوتروپیک فرض می‌شود. هیچ ضابطه آسیبی برای این میلگردها به کار نمی‌رود. خواص این میلگردها به مد بارگذاری (فشاری یا کششی) وابسته می‌باشد. در این پژوهش مدول یانگ در فشار و کشش یکسان فرض شده است و تنش فشاری نصف تنش کششی در نظر گرفته شده است. ضریب بواسون ۰,۲۵ می‌باشد. قابل ذکر است که در نرم افزار ABAQUS، رفتار میلگردهای GFRP به صورت مدل سه خطی تعریف شده‌اند.

شکل ۴ نمودار تنش-کرنش میلگردهای GFRP در این پژوهش را نشان می‌دهد.



شکل ۴: رابطه تنش-کرنش میلگردهای GFRP در این پژوهش [15]

## ۳-۱-۲ مدل میلگرد فولادی

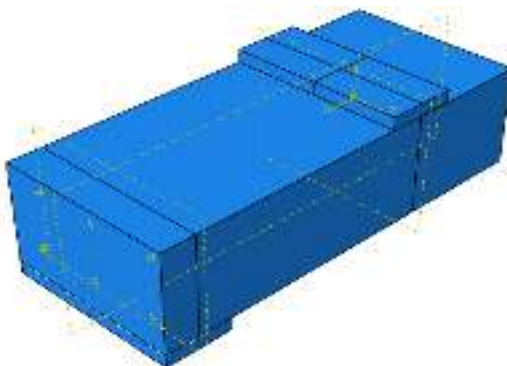
در این پژوهش جهت مدلسازی میلگردهای فولادی از مدل دو خطی الاستوپلاستیک کامل ایزوتروپیک استفاده شده است. رفتار این میلگردها در ناحیه الاستیک با مدول یانگ و ضریب بواسون و در ناحیه پلاستیک بر اساس معیار مایزر تعریف شده است. نمودار تنش-کرنش فولاد در شکل ۵ نشان داده شده است.



شکل ۵: نمودار تنش-کرنش دو خطی فولاد

## ۲-۲ مدل‌های اجزاء محدود

به منظور مدلسازی نمونه‌های بتنی از المان سه بعدی همگن solid و جهت شبیه‌سازی میلگردهای طولی و عرضی از المان سه بعدی wire استفاده شده است. نوع المان بتن همه نمونه‌ها C3D8R می‌باشد که یک المان سه بعدی و هشت گرهای با یکپارچگی کاوش یافته، مناسب جهت تحلیل دینامیکی و استاتیکی غیر خطی است و در ادامه از المان T3D2 که یک المان خربای دو گرهی شکل بذیر می‌باشد، به منظور مدلسازی میلگردهای طولی و عرضی استفاده شده است. فراهم نمودن سختی محوری، علت اصلی استفاده از المان خربای می‌باشد. هندسه مدل‌های اجزا محدود در شکل ۶ نمایش داده شده است. لازم به ذکر است که در نرم افزار طبق اصل تقارن، نصف تیر مدل شده است.



شکل ۶: هندسه مدل اجزاء محدود نصف تیر بتنی در نرم افزار ABAQUS

در این پژوهش جهت مدلسازی رفتار غیرالاستیک بتن، مدل پلاستیسیته-آسیب انتخاب شده است. در این مدل دو مکانیزم گسیختگی برای بتن فرض می‌شوند که عبارتند از: ترک خوردگی کششی و خردشیدگی فشاری. رفتار الاستیک-پلاستیک بتن در شکل ۳ نشان داده شده است. به منظور شبیه‌سازی سطح مشترک بین بتن و میلگردها، قید embedded در نرم افزار ABAQUS تعریف می‌شود. این قید نودهای میلگردگذاری را به درجات آزادی ناحیه میزبان متناظر شان (بتن) محدود می‌کند. بنابراین سطح مشترک میلگردها و خاموت‌ها با بتن شبیه‌سازی نمی‌شود بلکه میلگردها و خاموت‌ها در نرم افزار ABAQUS در ناحیه بتن مدفون می‌شوند و منجر می‌شوند که آرماتور به فضای بین اطراف خود چسبیده و با آن حرکت کند. هم‌چنین از لغزش بتن صرف نظر شده است. ورق‌های فولادی به بتن tie می‌شوند. در نتیجه تعریف قید tie بین سطح مشترک ورق فولادی و بتن، درجات آزادی آن‌ها به هم متصل شده و با هم حرکت می‌کنند و در نهایت از لغزش ورق فولادی روی سطح بتن جلوگیری می‌کند. این ورق‌ها منجر به توزیع برابر بارگذاری اعمال شده روی سطح مدل می‌شوند. همه نمونه‌های بتنی با سایز تقریبی ۴۰ میلی‌متر در جهت طولی، عرضی و ضخامت مشبندی شده‌اند.

## ۳- نمونه‌های مدل شده در نرم افزار ABAQUS

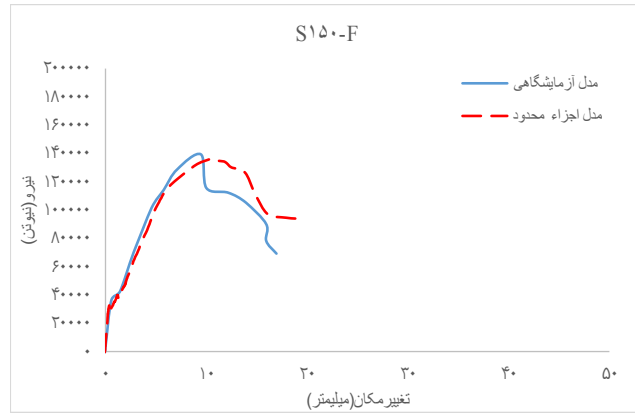
در این پژوهش ۱۰ نمونه تیر بتنی در نرم افزار مدلسازی شده که ۲ نمونه تیر بتنی صحت سنجی شده است و ۸ نمونه دیگر در نرم افزار ساخته شده‌اند. در همه نمونه‌ها، معیار پایان تحلیل در نرم افزار ABAQUS با توجه به نوع خرابی ایجاد شده، ارزیابی می‌شود که این خرابی شامل جاری شدن میلگرد فولادی، خردشیدگی بتن فشاری و گسیختگی میلگرد GFRP است. نحوه بارگذاری در تبرها کنترل جایه جایی می‌باشد؛ به عبارت دیگر با اعمال جایه جایی ۵۰ میلی‌متر روی دو خط متقارن به فاصله ۳۶۶ میلی‌متر انجام می‌گیرد. سپس نمونه‌ها تحت بارگذاری استاتیکی در نرم افزار مدل می‌شوند. در جدول ۳ مدل‌ها و مشخصاتشان نشان داده شده است.

جدول ۳: خواص مکانیکی نمونه‌ها

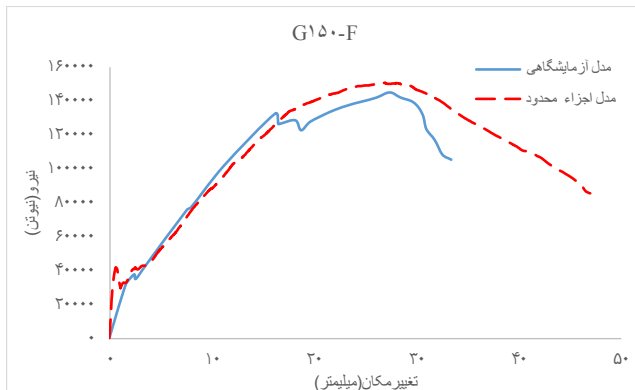
نمونه	نوع میلگرد	میلگردگذاری طولی				میلگردگذاری عرضی	
		قطر میلگرد در فشار (میلیمتر)	قطر میلگرد در کشش (میلیمتر)	نسبت میلگرد کششی به نسبت بالans FRP	درصد حجمی میلگرد فشاری ( $\rho$ )	قطر (میلیمتر)	فاصله (میلیمتر)
S150-F	فولادی	۱۲	۱۲	-	۰,۸۱۵۶	۶	۱۵۰
G150-F1	GFRP	۱۴,۲۲۵	۱۴,۲۲۵	۱,۸	۱,۱۴۶	۶,۳۵	۱۵۰
G150-F2	GFRP	۱۰	۱۴,۲۲۵	۱,۸	۰,۵۷۳	۶,۳۵	۱۵۰
G150-F3	GFRP	۰	۱۴,۲۲۵	۱,۸	۰	۶,۳۵	۱۵۰
G150-F4	GFRP	۱۲,۷	۱۲,۷	۱,۴۳۴	۰,۹۱۳۵	۶,۳۵	۱۵۰
G150-F5	GFRP	۸,۹۸	۱۲,۷	۱,۴۳۴	۰,۴۵۶۷	۶,۳۵	۱۵۰
G150-F6	GFRP	۰	۱۲,۷	۱,۴۳۴	۰	۶,۳۵	۱۵۰
G150-F7	GFRP	۱۱,۴۳	۱۱,۴۳	۱,۱۶۲	۰,۷۳۹۹	۶,۳۵	۱۵۰
G150-F8	GFRP	۸,۰۸	۱۱,۴۳	۱,۱۶۲	۰,۳۶۹۹	۶,۳۵	۱۵۰
G150-F9	GFRP	۰	۱۱,۴۳	۱,۱۶۲	۰	۶,۳۵	۱۵۰
G150-F10	GFRP	۹,۵۲	۹,۵۲	۰,۸	۰,۵۱۴۴	۶,۳۵	۱۵۰
G150-F11	GFRP	۶,۷۳۸	۹,۵۲	۰,۸	۰,۲۵۷۲	۶,۳۵	۱۵۰
G150-F12	GFRP	۰	۹,۵۲	۰,۸	۰	۶,۳۵	۱۵۰

#### ۴- صحت سنجی نتایج نمونه آزمایشگاهی با روش اجزا محدود

در این بخش به مقایسه نتایج نمونه آزمایشگاهی الجلکانی [12] و نتایج حاصل از تحلیل اجزاء محدود در نرم افزار می پردازیم. شکل ۸ رفتار نمونه‌های خمشی و تطابق مناسب نمودارهای نیرو-تغییر مکان نمونه‌های آزمایشگاهی و مدل‌های اجزاء محدود را در این پژوهش نشان می دهد. در این نمودارها، نیرو محوری، عکس العمل تکیه‌گاهی تیرها و تغییر مکان، همان خیز وسط دهانه تیر می باشد. همانطور که منحنی‌های نیرو-تغییر مکان تیرهای بتی مسلح فولادی و GFRP نشان می دهند؛ نتایج اجزاء محدود خصوصا در محدوده الاستیک به خوبی با نمودارهای بدست آمده از آزمایشگاه هم پوشانی دارند. در مدل آزمایشگاهی شاهد گسیختگی ناگهانی می باشیم در حالیکه این گسیختگی در مدل اجزاء محدود با شبیه ملايمتری رخ می دهد. طبق نتایج تحلیل آزمایشگاهی، ظرفیت خمشی تیرهای بتی مسلح GFRP اند کی بیشتر از تیرهای بتی مسلح فولادی می باشد که این مقدار افزایش در نمودارهای حاصل از تحلیل اجزاء محدود بیشتر است. در نمودار نمونه بتی مسلح GFRP آزمایشگاهی دو نقطه اوج مشاهده می شود که نقطه دوم ظرفیت خمشی بالاتری را نشان می دهد که بیانگر افزایش زیاد شکل پذیری در تیرهای بتی مسلح GFRP در مقایسه با فولادی است. همچنین در هر دو نمونه تیر بتی، شاهد افزایش شکل پذیری در تحلیل اجزاء محدود در مقایسه با مدل آزمایشگاهی می باشیم و نمونه با شبیه ملايمتری از مدل آزمایشگاهی گسیخته می شود. در نمونه تیر بتی مسلح GFRP اجزاء محدود، بار اوج به میزان ۸ درصد در مقایسه با مدل آزمایشگاهی افزایش یافته که نشان دهنده دست بالا گرفتن تحلیل به روش اجزاء محدود در تیر بتی GFRP می باشد. در حالیکه در تیر بتی مسلح فولادی با اوج در تحلیل عددی به میزان ۳ درصد کاهش یافته که بیانگر دست پایین گرفتن تحلیل عددی در این گروه از تیرها می باشد.

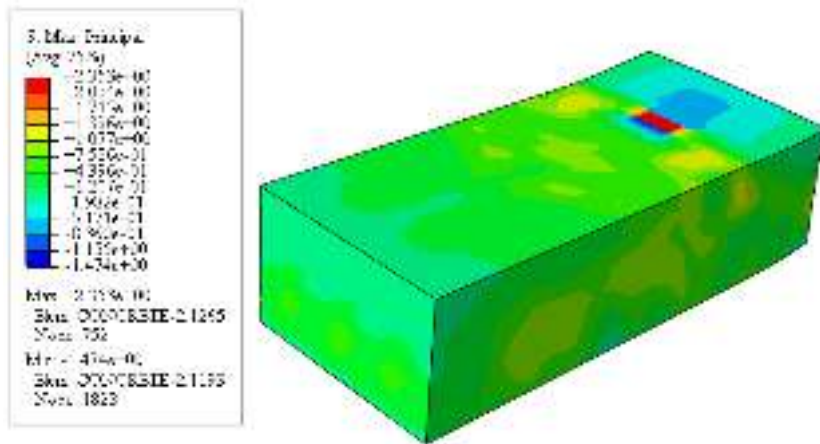


شکل ۷: مقایسه نمودارهای نیرو-تغییرمکان نتایج آزمایشگاهی و اجزاء محدود برای تیرهای S150-F و G150-F

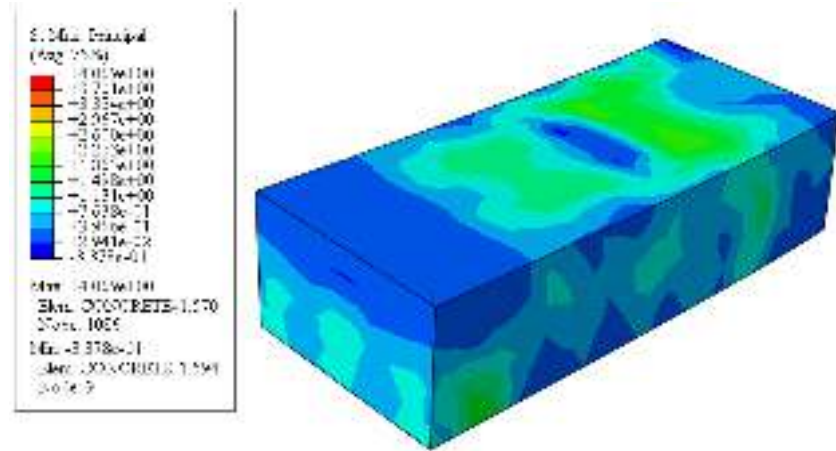


شکل ۸: مقایسه نمودارهای نیرو-تغییرمکان نتایج آزمایشگاهی و اجزاء محدود برای تیرهای S150-F و G150-F

مد شکست تیر بتونی در تحلیل اجزاء محدود، ترک خردگی بتن و خمس زیاد میلگردهای GFRP طولی تشکیل داده است. شکل ۹ و ۱۰ کانتور تنش مایسز نمونه های مدل شده را نشان می دهد.



شکل ۹: کانتور تنش ماکریم تیر بتنی  $S$



شکل ۱۰: کانتور تنش ماکریم تیر بتنی  $G$

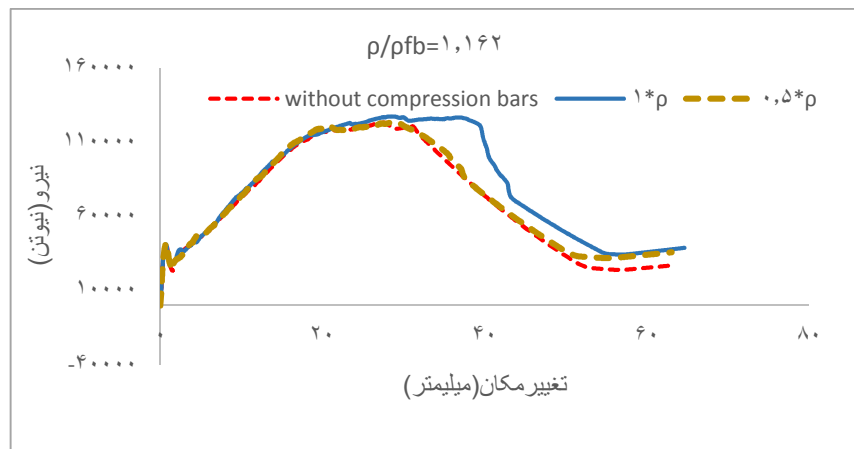
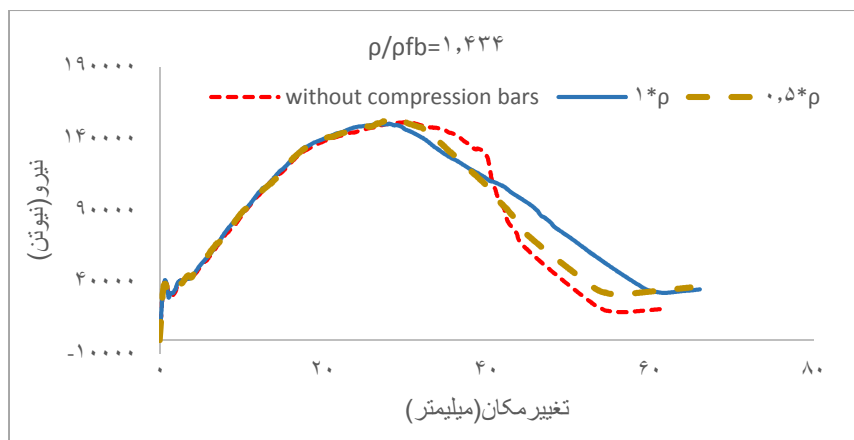
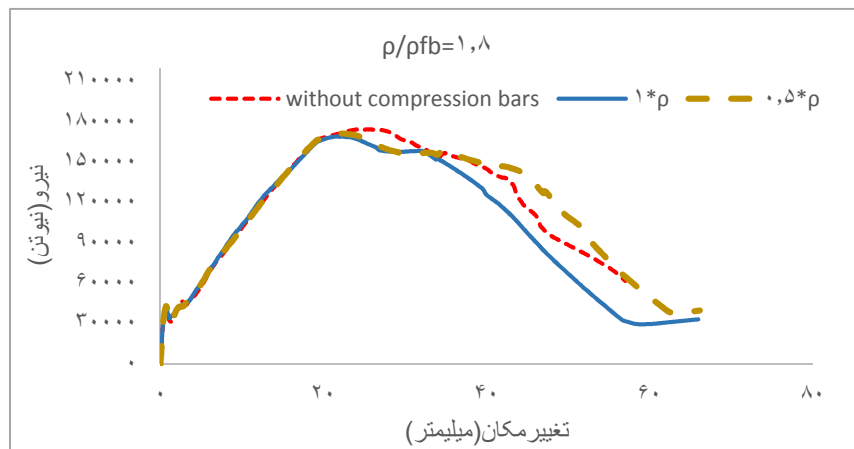
## ۵- نمونه‌های ساخته شده در نرم افزار

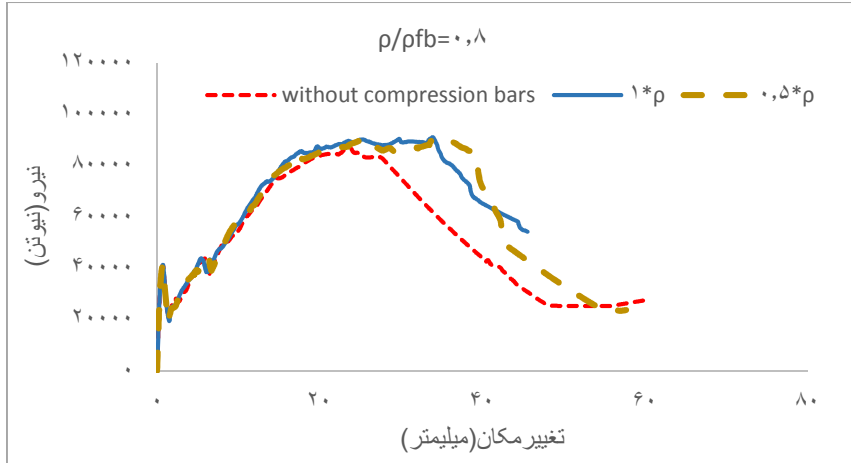
در این پژوهش ۱۱ نمونه تیر بتنی به منظور بررسی اثر میلگردهای فشاری روی ظرفیت محوری و شکل‌پذیری تیرهای بتنی مسلح در نرم افزار ساخته شده است. در این نمونه‌ها دو پارامتر، متغیر در نظر گرفته شده‌اند که پارامتر اول درصد میلگردهای کششی است و پارامتر دوم درصد میلگردهای فشاری است. مطابق با آین نامه ACI ۴۴۰،۱-R-۱۵ [۱] ظرفیت خمشی تیرهای مسلح به میلگردهای GFRP به دو مد شکست خردشده‌گی فشاری و گسیختگی FRP وابسته می‌باشد. حالت حدی کنترل با مقایسه نسبت میلگرد گذاری FRP به حالت بالانس ( $\frac{\rho}{\rho_{fb}}$ ) تعیین می‌شود. با بدست آوردن درصد میلگرد FRP بالانس طبق معادله (۱۶)، میلگرد گذاری به گونه‌ای انتخاب می‌شود که مقطع خمشی در سه ناحیه مختلف: ناحیه کنترل کششی ( $\rho < \rho_{fb}$ )، ناحیه گذار ( $\rho > \rho_{fb}$ ) و ناحیه کنترل فشاری ( $\rho > 1.4\rho_{fb}$ ) قرار گیرد و سپس با تغییر درصد میلگرد فشاری که به ترتیب صفر، نصف درصد میلگرد کششی و برابر با میلگرد کششی، نمودارهای تغییرمکان-نیرو حاصل شوند. نمودار مقایسه تیرها در

شکل ۱۱ نشان داده شده است. در این نمودارها پارامتر  $\rho$  بیانگر درصد میلگرد بالانس FRP است. در ادامه به تشریح و بررسی این نمودارها پرداخته می‌شود.

$$\rho_{fb} = 0.85 \beta_1 \frac{f_c}{f_{fu}} \frac{E_f \varepsilon_{cu}}{E_f \varepsilon_{cu} + f_{fu}} \quad (16)$$

در این معادله  $f_{fu}$  مقاومت کششی FRP،  $E_f$  مدول الاستیسیته میلگردهای FRP،  $\varepsilon_{cu}$  کرنش نهایی بتن،  $\rho_{fb}$  نسبت میلگردگذاری FRP بالанс می‌باشد.

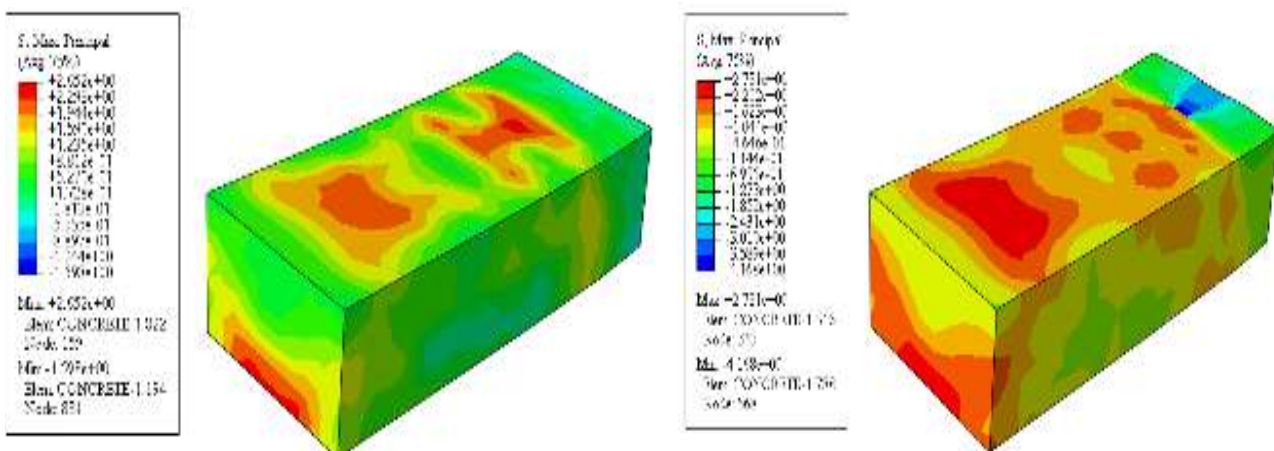




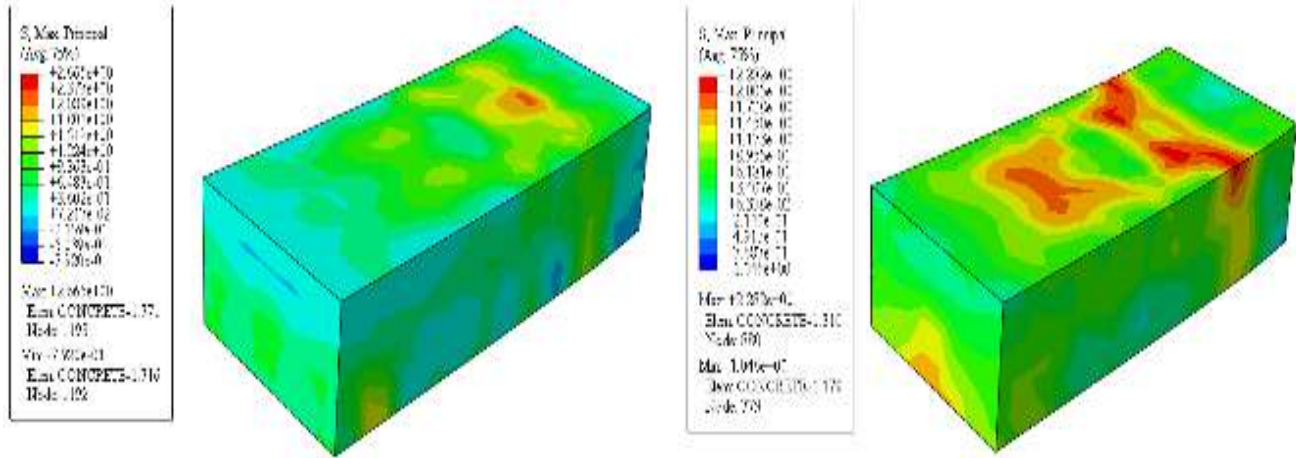
شکل ۱۱: مقایسه منحنی های تغییر مکان-نیرو برای تیر بتنی مسلح GFRP با نسبت های مختلف  $\frac{\rho}{\rho_{fb}}$  و درصد میلگرد فشاری متغیر

با توجه به نمودار نیرو-تغییر مکان نمونه های ساخته شده در نرم افزار، در همه تیرهای بتنی مسلح GFRP با نسبت های مختلف میلگرد گذاری FRP به حالت بالانس ( $\frac{\rho}{\rho_{fb}}$ )، با تغییر درصد آرماتور فشاری، مقاومت خمشی نمونه تقریباً ثابت مانده است و تغییرات، تنها در ناحیه غیر خطی پس از ناحیه اوج رخ می دهد؛ به عبارتی دیگر افزایش درصد حجمی میلگردهای فشاری منجر به افزایش شکل پذیری نمونه می شود، هر چند ستون های با نسبت  $\frac{\rho}{\rho_{fb}} = 1.8$  از این قاعده پیروی نمی کنند. در همه ستون ها ناحیه پیش از اوج، هم پوشانی کامل دارند. با کاهش نسبت میلگرد گذاری FRP به حالت بالانس ( $\frac{\rho}{\rho_{fb}}$ )، از میزان ۱.۸ به ۰.۶ در مواردی که درصد حجمی میلگردهای فشاری و کنشی برابر است ( $\rho = \bar{\rho}$ ) مقاومت خمشی به میزان ۴۶,۱۵ درصد کاهش می یابد و در مواردی که درصد حجمی میلگردهای فشاری نصف درصد حجمی میلگردهای کششی است، مقاومت خمشی به میزان ۴۷,۳۸ درصد کاهش می یابد و در زمانی که میلگردهای فشاری حذف شوند، ۲۴، ۵۰ درصد افت مقاومت خمشی داریم. بنابراین با کاهش درصد حجمی میلگردهای فشاری، شاهد افت مقاومت بیشتری در اثر کاهش نسبت  $\frac{\rho}{\rho_{fb}}$  می باشیم.

شکل ۱۲، ۱۳ و ۱۴ کانتور تنش ماکریزم مدل های ساخته شده در نرم افزار را نشان می دهد.



شکل ۱۲: کانتور تنش تیر بتنی G: سمت راست، قطر میلگرد کششی، برا بر با ۱۴,۲۵ میلیمتر و فاقد میلگرد فشاری و سمت چپ، قطر میلگرد کششی، برا بر با ۱۲,۷ میلیمتر و فاقد میلگرد فشاری



شکل ۱۳ : کانتور تنش تیر بتونی  $G$  : سمت راست، قطر میلگرد کشی، برابر با ۱۱,۴۳ میلیمتر و میلگرد فشاری و کشی با درصد حجمی برابر و سمت چپ، قطر میلگرد کشی، برابر با ۹,۵۲ میلیمتر و درصد حجمی میلگرد فشاری نصف درصد حجمی میلگرد کشی

## ۶- نتیجه گیری

- در این پژوهش در ابتدا صحت سنگی نتایج آزمایشگاهی و تحلیل اجزاء محدود در نرم افزار بررسی شد و سپس به بررسی اثر میلگردهای فشاری روی ظرفیت باربری و شکل پذیری تیرهای بتون مسلح GFRP پرداختیم و نتایج زیر حاصل از بررسی ها به دست آمد:
- با کاهش نسبت میلگردگذاری FRP به حالت بالانس  $(\frac{\rho}{\rho_{fb}})$  از ۱,۸ به ۰,۸، ظرفیت خمشی مقطع به طور میانگین ۴۷,۹ درصد کاهش می یابد و افت شدید در شکل پذیری مقطع اتفاق می افتد.
  - با تغییر درصد میلگردهای فشاری، ناحیه الاستیک کاملا همپوشانی داشته و تغییرات در ناحیه پس از اوچ شروع می شود. کاهش درصد میلگردهای فشاری ( $\rho$ ) از میزان برابر با درصد میلگردهای کشی ( $\rho$ ) تا مقدار صفر، تغییری در ظرفیت خمشی تیر ایجاد نمی کند؛ در حالی که منجر به کاهش شکل پذیری مقطع می شود خصوصا در نسبت های پایین  $\frac{\rho}{\rho_{fb}}$  می شود.
  - مدل های اجزاء محدود به دقت رفتار نمونه های آزمایشگاهی را پیش بینی کردند و تفاوت جزئی مشاهده شده در نمودار نیرو - تغییر مکان به علت شکست - های زودهنگام ناشی از باز شدن خاموتهای می باشد. هم چنین در تیرها شکست از نوع شکست قطعی بحرانی می باشد.<sup>۰</sup>
  - اغلب نمونه های مسلح به میلگردها و خاموتهای GFRP در تحلیل اجزاء محدود دست بالا گرفته شده؛ حال آنکه نمونه های مسلح به میلگردهای فولادی اغلب دست پایین گرفته شده اند.
  - جایگذاری میلگردهای فولادی با GFRP منجر به افزایش کلی در ظرفیت خمشی تیر می شود. هم چنین به علت اینکه میلگردهای GFRP در ناحیه فروپاشی پس از اوچ، تغییر شکل خوبی از خود نشان می دهند؛ بنابراین با جذب انرژی بیشتر منجر به افزایش شکل پذیری خواهند شد.

## ٤- مراجع

- [١] ACI ٤٤٠,١R-١٥, *Guide for the Design and Construction of Structural Concrete Reinforced with Fiber-Reinforced Polymer (FRP) Bars (ACI ٤٤٠,١R- ١٥)*, vol. ٢٢, no. ٤. ٢٠١٥.
- [٢] Canadian Standards Association, “Design and Construction of Building Components with Fibre-Reinforced Polymers (CAN/CSA S٨٠٦-٠٣),” *Csa S٨٠٦-٠٣*, no. Reaffirmed, p. ٢١٨, ٢٠٠٢.
- [٣] C. Arya, J. L. Clarke, E. A. Kay, and P. D. O'Regan, “TR ٥٥: Design Guidance for Strengthening Concrete Structures Using Fibre Composite Materials — A Review,” *Struct. Eng. Mech. Comput.*, pp. ١٢٤٣–١٢٥٠, Jan. ٢٠٠١.
- [٤] I. Standard, “Iso ١٠٤٠٦-١,” vol. ٢٠٠٨, ٢٠٠٨.
- [٥] fib TG ٩,٣, *fib Bulletin ٩٠: FRP reinforcement in RC structures*, no. ١٩٩٧, ٢٠٠٢.
- [٦] M. Aliasghar-Mamaghani and A. Khaloo, “Seismic behavior of concrete moment frame reinforced with GFRP bars,” *Compos. Part B Eng.*, vol. ٦٣, no. September ٢٠١٨, pp. ٣٢٤–٣٣٨, ٢٠١٩.
- [٧] M. Z. Afifi, H. M. Mohamed, and B. Benmokrane, “Axial Capacity of Circular Concrete Columns Reinforced with GFRP Bars and Spirals,” *J. Compos. Constr.*, vol. ١٨, no. ١, p. ٠٤٠١٣٠١٧, ٢٠١٤.
- [٨] M. Z. Afifi, H. M. Mohamed, and B. Benmokrane, “Strength and Axial Behavior of Circular Concrete Columns Reinforced with CFRP Bars and Spirals,” *J. Compos. Constr.*, vol. ١٨, no. ٢, p. ٠٤٠١٣٠٣٥, Apr. 2014.
- [٩] A. M. Amiri, A. Olfati, S. Najjar, P. Beiranvand, and M. H. N. Fard, “STUDY ON FLEXURAL OF REINFORCED GEOPOLYMER CONCRETE BEAM,” *Adv. Sci. Technol. Res. J.*, vol. ١٠, no. ٣٠, pp. ٨٩–٩٥, 2016.
- [١٠] K. T. Nguyen, N. Ahn, T. A. Le, and K. Lee, “Theoretical and experimental study on mechanical properties and flexural strength of fly ash-geopolymer concrete,” *Constr. Build. Mater.*, vol. ١٠٩, pp. ٦٥–٧٧, Mar. 2016.
- [١١] Z. Sun, Y. Yang, W. Yan, G. Wu, X. H.-A. in C. Engineering, and undefined ٢٠١٧, “Moment-Curvature Behaviors of Concrete Beams Singly Reinforced by Steel-FRP Composite Bars,” *hindawi.com*.
- [١٢] M. Elchalakani and G. Ma, “Tests of glass fibre reinforced polymer rectangular concrete columns subjected to concentric and eccentric axial loading,” *Eng. Struct.*, vol. ١٥١, pp. ٩٣–١٠٤, ٢٠١٧.
- [١٣] L. W. X. M, and C. Z., “Parameters calibration and verification of concrete damage plasticity model of Abaqus.,” *J. Compos. Constr.*, vol. ١٩, no. ١, p. ٠٤٠١٤٠٢٦, Feb. ٢٠١٤.
- [١٤] A. ٣٦٣R-١٠, “Report on High-Strength Concrete,” *Am. Concr. Inst.*, ٢٠١٠.
- [١٥] M. Elchalakani, A. Karrech, M. Dong, M. S. Mohamed Ali, and B. Yang, “Experiments and Finite Element Analysis of GFRP Reinforced Geopolymer Concrete Rectangular Columns Subjected to Concentric and Eccentric Axial Loading,” *Structures*, vol. ١٤, no. ٢٠١٧, pp. ٢٧٣–٢٨٩, ٢٠١٨.
- [١٦] A. De Luca, F. Matta, A. N.-A. S. Journal, and undefined ٢٠١٠, “Behavior of full-scale glass fiber-reinforced polymer reinforced concrete columns under axial load,” *vrodbrunei.com*.
- [١٧] C. S. Standards Association of Australia. Committee BD-٠٠٢, *Concrete structures : AS ٣٦٠٠-٢٠٠٩* Standards Australia, ٢٠٠٩.
- [١٨] J. Stoner, “Finite Element Modelling of GFRP Reinforced Concrete Beams,” Apr. ٢٠١٥.